

ランダム塑性曲げ変形を受けるH型鋼の疲労性状

京都大学 正員 後藤 尚男 京都大学 正員 亀田 弘行
川崎製鉄 正員○小池 武 間 組 正員 腸田 和試

1. まえがき

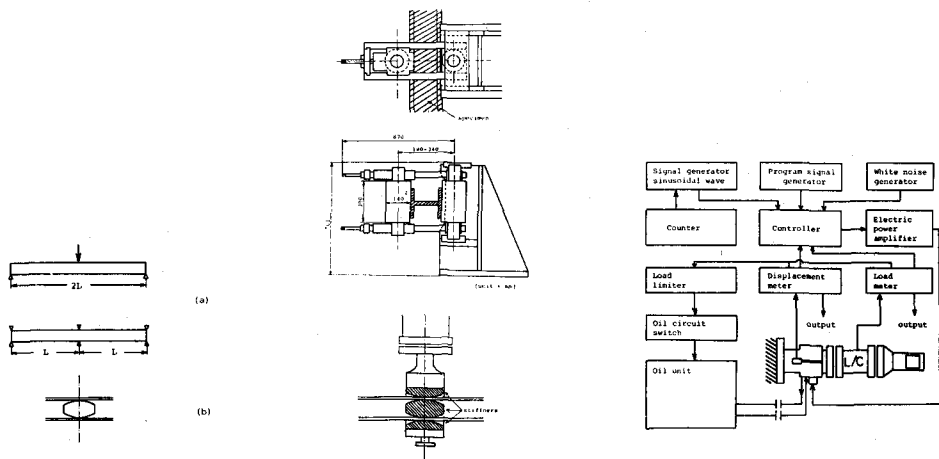
本研究は、強震地盤を受ける土木構造物の安全性評価を信頼性理論に基づいて行うための基礎的研究として、地震時に数十回の塑性変形がくり返された場合の低サイクル疲労破壊の問題を取り扱ったものである。とくにここでは、ランダム荷重下での低サイクル疲労の寿命予測法を確立する目的²⁾、正弦波による一定幅幅試験で得られたS-N曲線を基礎に、ランダム荷重下での線形損傷則による疲労寿命推定値と強制ランダム波加振実験結果とを比較・検討することに重点が置かれている。

2. 実験の概要

S541 広幅H型鋼材 $100 \times 100 \times 6 \times 8$ を供試体として用い、図1に示すようにスパン 1400mm の単純梁の中央にくり返し集中荷重が加えられた。また塑性曲げ変形による局部座屈、横倒座屈の発生・進展を防止する目的で補剛材が插入された。供試体の載荷・支持装置が図2に示されています。実験は変位制御が行われ、一定振幅試験における正弦波周波数は 0.5Hz に固定され、強制ランダム波加振実験のランダム波入力は、 $0.125\text{Hz} \sim 1.0\text{Hz}$ の定常狭帯域ホワイトノイズが用いられた。

実験操作および測定は、図3に示すブロックダイヤグラムに従って実施された。

低サイクル疲労破壊に対する S-N 関係として、変位振幅を障害変位で除した無次元変位振幅と破壊回数の関係が採用された。ここで、破壊回数は一律にクラックの貫入するまで自記で確認できた時点までの回数とした。



Q1 (a) Test Piece and its Bending Mode
 (b) Stiffeners.

2 Schematic Diagram of Loading and Supporting Devices.

3 Block Diagram of Testing Machine System.

3. 疲労寿命のばらつき δ_N

ランダムパラメータとしてこの疲労寿命 N と入力振幅 Δ の関係が、次式で与えられていたとする。

$$N s^\mu = c \quad (1)$$

$\varepsilon = ?$ 、 μ 、 C は材料定数。

新たな変数 $Y = \ln N$, $X = \ln \sigma_x$ を便し、式(4)を書き直す。

$$Y = \alpha + \beta X \quad (2)$$

ここで、 $\alpha = \ln C$, $\beta = -\mu$

疲労寿命 N の確率諸量は、実験操作との対応から、入力振幅が指定されたときの条件付平均値、分散、変動係数の形で与えられる事になる。すなわち、最小自乗法に基づく回帰分析結果によれば、 Y の条件付期待値は、

$$E[Y|x] = \hat{\alpha} + \hat{\beta} x \quad (3)$$

で与えられる。ここで、 $\hat{\alpha}$, $\hat{\beta}$ は α , β の最良推定値。

さらに、 N のばらつきを変動係数 δ_N とて定義すれば、 δ_N は次式で与えられる。

$$\delta_N = \sqrt{\frac{Var[N]}{E[N]}} = \sqrt{\exp\{Var[Y|x]\} - 1} \approx \sqrt{Var[Y|x]} \quad (4)$$

$Var[Y|x]$ の最良推定値が Y の条件付不偏分散である事から、 δ_N の最良推定値は、 Y の条件付標準偏差で与えられる。

今、入力振幅が、ランダムパラメータとしての降伏強度 X_Y と確定パラメータとしての無次元変位振幅 α を用いて次式で与えられるとす。

$$S = \alpha X_Y \quad (5)$$

疲労寿命の変動係数の推定値 $\hat{\delta}_N$ は、信頼性理論の一様近似法に基づいて、次式で評価される。

$$\hat{\delta}_N^2 \approx \delta_c^2 + \mu_a^2 \delta_{X_Y}^2 + \{ \mu_a \ln(\mu_a/\mu_{X_Y}) \}^2 \delta_a^2 \quad (6)$$

材料が均一で、降伏強度のばらつきが無視できる場合は、 $\delta_{X_Y} = 0$ として次の関係が得られる。

$$\hat{\delta}_N^2 \approx \delta_c^2 + \{ \mu_a \ln(\mu_a/\mu_{X_Y}) \}^2 \delta_a^2 \quad (7)$$

従って、真の疲労寿命のばらつき δ_N は、 $\hat{\delta}_N$ と $\hat{\delta}_N$ の間に位置するものと推測される。

4. ランダム疲労寿命の推定

4.1. 等価振幅

図4, 5は一定変位振幅試験及び強制ランダム加振疲労試験の実験結果に対するSN曲線であり、図中の実線は疲労寿命 N の無次元振幅 α に関する回帰曲線である。とくに、図5はランダム加振実験では、無次元振幅として、入力のR.M.S. 値を用いて σ_x/X_Y を採用し、疲労寿命と所要時間 T を用いた。

表1は、それらの回帰曲線に関する回帰分析結果であり、勾配の平均値がそれぞれ 2.502, 2.509 と非常に近接しているのがわかる。

今、 $S = X/Y$ 式(5)に代入すると、SN曲線は次式で与えられる。

$$N(X/X_Y)^{\mu} = C \quad (8)$$

ランダム波加振実験についても同様に 1.2. $S = \sigma_x/X_Y$ 式(5)に代入すると、

$$T(\sigma_x/X_Y)^{\mu} = C^* \quad (9)$$

すでに指摘したように、ランダム波加振実験と一定変位振幅試験とのSN曲線の勾配が、どのくらいかから、ランダム入力の標準偏差と等価な一定サイン波振幅の対応関係が期待され、ここに、次式で定義される等価係数を導入してその対応関係を調べることにする。

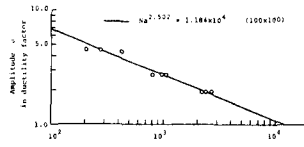


図4 SN Curve under Constant Cyclic Load.

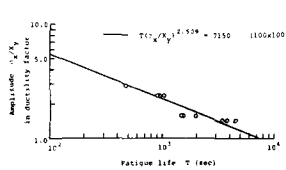


図5 SN Curve under Dynamic Random Load (σ_x = r.m.s. of displacement).

表1 Regression Analysis of Fatigue Test Results.

Loading pattern	c.o.v. of fatigue life	Mean value of material parameter,b	Mean value of material parameter,c	c.o.v. of material parameter,b	c.o.v. of material parameter,c	Correlation factor
constant	0.206 (0.157, 0.373)	2.502	1.184×10^4	0.075	0.207	-0.901
random	0.296 (0.228, 0.514)	2.509	0.715×10^4	0.141	0.231	-0.926

$$X = \xi \sigma_x \quad (10)$$

式(8)に、式(10)を代入し、さらに $N = T v_0$ (v_0 は入力周波数の平均値) を代入すれば、

$$T v_0 (\xi \sigma_x / X_Y)^4 = C \quad (8)'$$

$\mu_u \approx \mu_{u^*} = 2.50$ とすると、式(9)と(8)'より

$$\xi = \left(\frac{C}{v_0 C^*} \right)^{1/2.50} = 1.51 \quad (11)$$

ここで、定常狭帯域ホワイトノイズ過程のピーク値が Rayleigh 分布に従うとき、その平均値が $\sqrt{\pi/2} \sigma_x = 1.25 \sigma_x$ に等しいが、たとえことを想起すれば、 ξ と μ_u の等価係数は $\xi' = 1.25$ である。たとえことになり、上述の実験結果は、若干大きな値であることがわかる。すなわち、もし実験値 $1.51 \sigma_x$ の割りには、ピークよりの理論推定値 $1.25 \sigma_x$ も、等価振幅として採用されれば、疲労寿命を数十%過大に評価することになる、たがもしれない。

次に、実際のランダム過程の代りに等価振幅 $\xi \sigma_x$ を用いて、ランダム疲労寿命を推定しようとしたときの推定誤差を検討する。表 1 では、疲労寿命のばらつきが、一定変位振幅試験で $\delta_N = 0.206$ 、ランダム波加振実験で $\delta_T = 0.296$ ヒランダム波加振の場合のばらつきを示した。以下の解析では、この差がランダム波形によるばらつきのみに帰属していいものと仮定する。このとき、式(6)に従うと

$$\delta_N^2 \approx \delta_c^2 + \mu_u^2 \delta_{xy}^2 + \frac{1}{2} \mu_u \ln(\mu_u \mu_{xy}) \xi^2 \delta_u^2 \quad (12)$$

$$\delta_T^2 \approx \delta_c^2 + \mu_{u^*}^2 (\delta_{xy}^2 + \delta_j^2) + \frac{1}{2} \mu_{u^*} \ln(\mu_{u^*} \mu_{xy}) \xi^2 \delta_u^2 \quad (13)$$

上述の仮定より

$$\delta_T^2 \approx \delta_N^2 + \mu_u^2 \delta_j^2 \quad (14)$$

とすると、

$$\delta_j \approx 0.085 \quad (15)$$

すなわち、このことは等価振幅 $\xi \sigma_x$ に対する一定振幅時の疲労寿命からランダム疲労寿命を推定しようとするとき、等価係数 ξ を採用することによるばらつきは 0.085 であることを意味している。なお、この等価振幅による疲労寿命の推定誤差は、ランダム疲労の回帰曲線と比較して 17% である。

4.2 ランダム変位過程の損傷度評価

ここでは、ランダム疲労寿命の線形損傷則による推定値と実験値とを比較することを試みる。

図 6 は、強制ランダム疲労実験の変位出力過程を示したものであり、図 7 は、ランダム波形 $X(t)$ の一部である。 X_i と X_{i+1} は、これぞれ山から谷への振幅、谷から山への振幅を示している。今、半波 X_i による損傷度 d_i を次式で定義する。

$$d_i = \frac{1}{2} \frac{\left(\frac{X_i}{2X_Y} \right)^n}{C} \quad (16)$$

図 8 は、図 6 のランダム波形の中から上位の X_i (山から谷)、 X_{i+1} (谷から山) をそれぞれの時刻で取り出し、符号とともに示してある。図 9 は、得られた X_i を式(16)に代入して得られた損傷度の累積状況を示したものである。この

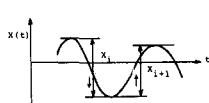


図 7 Definition of Height of Peak X_{i+1} and Trough X_i .

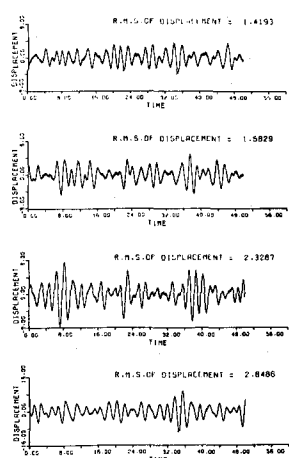


図 6 Output Displacement of Randomly Forced Loading Test.

値が1に達したときの時刻でも、疲労破壊時刻とした。



図8 Occurrence Pattern of Peak and Trough.

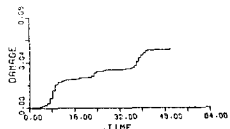


図9 Fatigue Damage Accumulation
Due to Eq.(2.43).

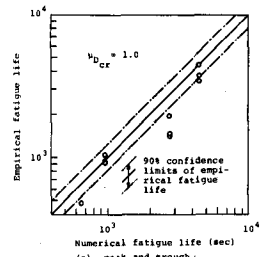


図10 Experimental and Computed Fatigue Lives for:
(a) Peak and Trough ; and (b) Plastic Deformation
($u_D_{cr} = 1.0$).
Numerical fatigue life (sec)
(a) peak and trough

図10は、実験結果と推定値を比較したものである。縦軸は実際に破断した時刻、横軸は線形損傷則に基づいて上の計算より求めた疲労寿命である。図中の実線はプロットした値がその上に来れば実験値と推定値が等しいことを示す補助線である。一点鎖線はパラメータのばらつきに基づく実線の信頼区間であり、この区間にプロットが来れば、実験値と計算値は90%の信頼度で等しいことになる。

図10の結果は、プロットがやや計算値の下に偏る傾向があるが、比較的両者はよい近似を示していると言える。また、プロットが計算値の下へ直づけないことより、線形損傷則による寿命推定が実は危険側であることがわかる。このことは、ランダム疲労寿命推定に線形損傷則を適用する場合、破壊時の累積損傷度を1に固定せず、1以下に与る可能性をも検討すべきことを示唆しているものと言えよう。

5. 結論

得られた結果を列記すると、

- 1) ランダム疲労寿命をランダム波のr.m.s. 値と既知のSN曲線から推定する目的で、ランダム入力振幅に対する等価振幅の概念が導入され、等価係数との確率量が求められた。
- 2) ランダム疲労寿命の実験値と線形損傷則による推定値とが比較され、推定値が若干寿命を危険側に評価するものの、両者がかなりよく一致を示すことが明らかになった。

本研究で用いた疲労実験方法は、一種類の鋼構造部材の塑性曲げ実験であることから、直ちにすべてのランダム位相サインル疲労問題に適用範囲を広げるには至らないが、ここで示したランダム量の取り扱い方、また、ランダム量のオーダーなどは疲労破壊に関する信頼性解析を適用する上で有用なものと信じる。

参考文献

- 1) Ang, A.H-S. & W.Tang: Probability concepts in engineering planning and design, Vol. I, John Wiley & Sons, New York, 1975.
- 2) Ang, A.H-S. & C.A.Cornell: Reliability bases of structural safety and design, ASCE, Vol.100, No. ST9, 1974 9, pp.1755-1769.
- 3) Crandall, S.H. & W.D.Marcus: Random vibration in mechanical systems, Academic Press, New York, 1963.
- 4) 継藤尚男・鷹田弘治・小池武・青山功・脚田勤試：橋用鋼材の塑性曲げ疲労破壊の信頼性設計的研究，京都大学防災年報，京都大学，16.18B 1975. 4, pp. 377-393.